

УДК 539.3

## НАПРЯЖЕННО-ДЕФОРМИРОВАННОЕ СОСТОЯНИЕ АНИЗОТРОПНОЙ ПЛАСТИНЫ, СОДЕРЖАЩЕЙ КРИВОЛИНЕЙНЫЕ ТРЕЩИНЫ И ТОНКИЕ ЖЕСТКИЕ ВКЛЮЧЕНИЯ

В. Н. Максименко, Г. В. Недогибченко

Новосибирский государственный технический университет, 630092 Новосибирск

С использованием комплексных потенциалов решается смешанная задача линейной теории упругости для бесконечной анизотропной пластины с разрезами и тонкими абсолютно жесткими включениями, расположенными произвольно вдоль незамкнутых гладких кривых. Построены специальные представления решений, получена разрешающая система сингулярных интегральных уравнений. Изложен алгоритм численного определения напряженно-деформированного состояния пластины, в том числе коэффициентов интенсивности напряжений в вершинах разрезов и жестких включений. Приведены результаты расчетов.

**Введение.** Процессы хрупкого разрушения конструкций в период эксплуатации обычно начинаются вблизи технологических или конструктивных концентраторов напряжений, например разрезов или жестких остrokонечных включений. Одним из методов определения упругого и предельного равновесия деформируемых твердых тел, содержащих остrokонечные включения, и изучения взаимного влияния близкорасположенных включений и разрезов является метод интегрального представления решений, приводящего к сингулярным интегральным уравнениям. В [1] составлена система таких уравнений, описывающая напряженно-деформированное состояние изотропной пластины с конечным числом криволинейных жестких включений и разрезов при воздействии различных силовых нагрузок. В ряде случаев приведены точные или асимптотические формулы (полученные с использованием малого параметра при больших расстояниях между дефектами) или численные алгоритмы для вычисления коэффициентов интенсивности напряжений в вершинах разрезов и включений. В [2] изучается напряженно-деформированное состояние пакета изотропных пластин, жестко соединенных вдоль кривых.

В работах [3–6] развиты методы исследования напряженно-деформированного состояния анизотропных пластин с разрезами сложной формы, а также с разрезами в сочетании с отверстиями и прямолинейными упругими стопорами. В настоящей работе впервые для анизотропных пластин построены общие представления решений задачи взаимодействия разрезов и тонких абсолютно жестких включений при следующих ограничениях: объекты расположены вдоль гладких незамкнутых кривых и не касаются друг друга, берега разрезов не контактируют между собой. Задача сведена к системе сингулярных интегральных уравнений, эффективно решаемой численными методами. Преимуществом рассматриваемого подхода является единая форма интегральных уравнений на контурах разрезов и включений, что упрощает построение алгоритма численного решения. Приводятся результаты численного исследования ряда новых задач для анизотропных и изотропных (с помощью предельного перехода в параметрах анизотропии) пластин. Отмечается высокая точность предлагаемого алгоритма, проводится сравнение с решениями, полученными ранее другими авторами.

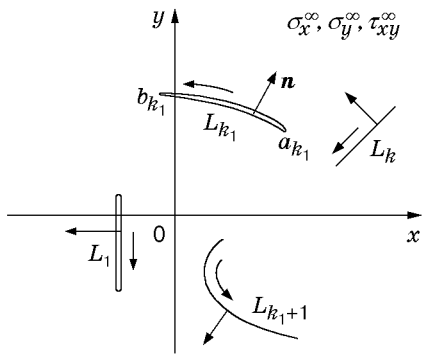


Рис. 1

**Постановка задачи.** Рассматривается упругая прямолинейно-анизотропная пластина постоянной толщины, занимающая плоскость  $z = x + iy$ . На бесконечности действуют равномерно распределенные напряжения  $\sigma_x^\infty, \sigma_y^\infty, \tau_{xy}^\infty$ . В пластине вдоль гладких кривых  $L_j = (a_j, b_j)$  при  $j = 1, \dots, k_1$  расположены сквозные разрезы (трещины) и при  $j = k_1 + 1, \dots, k$  — тонкие абсолютно жесткие включения (рис. 1);  $L = \bigcup_{j=1}^k L_j$ ,

$$L^{(1)} = \bigcup_{j=1}^{k_1} L_j, \quad L^{(2)} = \bigcup_{j=k_1+1}^k L_j.$$

Для каждой кривой выбраны нормали  $\mathbf{n}(t)$ , направленные вправо при движении от  $a_j$  к  $b_j$ . По предположению берега разрезов не

контактируют между собой и подвержены действию самоуравновешенных непрерывно распределенных нагрузок  $P(t)$ :

$$X_n^\pm(t) + iY_n^\pm(t) = \pm P(t), \quad t \in L^{(1)}. \quad (1)$$

Криволинейные включения могут перемещаться как единое жесткое целое:

$$u^\pm(t) + iv^\pm(t) = g_1(t) + ig_2(t) = G(t), \quad t \in L^{(2)}; \quad G(t) = c_j + i\varepsilon_j t, \quad t \in L_j. \quad (2)$$

Здесь  $c_j$  — комплексная константа,  $\varepsilon_j$  — неизвестный или заданный угол поворота жесткого включения  $L_j$ . Знаки “+” и “-” соответствуют левому и правому берегам разреза или включения.

Требуется определить напряженно-деформированное состояние плоскости.

**Вид потенциалов.** Пусть  $\mu_1$  и  $\mu_2$  — неравные корни характеристического уравнения [7]  $a_{11}\mu^4 - 2a_{16}\mu^3 + (2a_{12} + a_{66})\mu^2 - 2a_{26}\mu + a_{22} = 0$ , где  $a_{ij}$  — коэффициенты деформаций из закона Гука. Считаем, что  $\text{Im } \mu_1 > 0, \text{Im } \mu_2 > 0$ .

Потенциалы Лехницкого по аналогии с [4] предлагается искать в виде

$$\Phi_\nu(z_\nu) = \Phi_{\nu 0} + \Phi_{\nu 1}(z_\nu) + \Phi_{\nu 2}(z_\nu), \quad \nu = 1, 2. \quad (3)$$

Здесь  $z_\nu = x + \mu_\nu y$ ,  $\Phi_{\nu 0}$  — известные постоянные, определяемые усилиями на бесконечности для плоскости без дефектов [8];

$$\Phi_{\nu 1}(z_\nu) = \frac{1}{2\pi i} \int_{L^{(1)}} \frac{\omega_\nu(\tau) d\tau_\nu}{\tau_\nu - z_\nu}; \quad \Phi_{\nu 2}(z_\nu) = \frac{1}{2\pi i} \int_{L^{(2)}} \frac{\mu_\nu(\tau) d\tau_\nu}{\tau_\nu - z_\nu};$$

$d\tau_\nu = (\mu_\nu \cos \varphi(\tau) - \sin \varphi(\tau)) ds = M_\nu(\tau) ds$ ;  $\varphi(\tau)$  — угол, образуемый нормалью  $\mathbf{n}(\tau)$  с осью  $x$ ;  $ds$  — дифференциал длины дуги кривой.

**Система интегральных уравнений задачи.** Следуя [3, 7], краевые условия (1), (2) можно записать в виде

$$\begin{aligned} a(t)\Phi_1^\pm(t_1) + b(t)\bar{\Phi}_1^\pm(t_1) + \Phi_2^\pm(t_2) &= F^\pm(t), & t \in L^{(1)}, \\ A(t)\Phi_1^\pm(t_1) + B(t)\bar{\Phi}_1^\pm(t_1) + \Phi_2^\pm(t_2) &= W^\pm(t), & t \in L^{(2)}, \end{aligned} \quad (4)$$

где

$$\begin{aligned} a(t) &= a_0 \frac{M_1(t)}{M_2(t)}; & b(t) &= b_0 \frac{\bar{M}_1(t)}{M_2(t)}; & a_0 &= \frac{\mu_1 - \bar{\mu}_2}{\mu_2 - \bar{\mu}_2}; & b_0 &= \frac{\bar{\mu}_1 - \bar{\mu}_2}{\mu_2 - \bar{\mu}_2}; \\ A(t) &= A_0 \frac{M_1(t)}{M_2(t)}; & B(t) &= B_0 \frac{\bar{M}_1(t)}{M_2(t)}; & A_0 &= \frac{\bar{p}_2 q_1 - p_1 \bar{q}_2}{\bar{p}_2 q_2 - p_2 \bar{q}_2}; & B_0 &= \frac{\bar{p}_2 \bar{q}_1 - \bar{p}_1 \bar{q}_2}{\bar{p}_2 q_2 - p_2 \bar{q}_2}; \end{aligned}$$

$$F^\pm(t) = \pm \frac{X_n^\pm(t) + \bar{\mu}_2 Y_n^\pm(t)}{(\mu_2 - \bar{\mu}_2)M_2(t)}; \quad W^\pm(t) = W(t) = \left( \bar{p}_2 \frac{dg_2}{ds} - \bar{q}_2 \frac{dg_1}{ds} \right) \frac{1}{(\bar{p}_2 q_2 - p_2 \bar{q}_2)M_2(t)};$$

$$p_\nu = a_{11}\mu_\nu^2 - a_{16}\mu_\nu + a_{12}; \quad q_\nu = a_{12}\mu_\nu + a_{22}\mu_\nu^{-1} - a_{26}, \quad \nu = 1, 2.$$

Вследствие самоуравновешенности нагрузок  $F^+(t) = F^-(t) = F(t)$ .

Используя представления (3) и формулы Сохоцкого — Племяля, из (4) получаем систему сингулярных интегральных уравнений для определения неизвестных плотностей  $\omega_1(t)$ ,  $\omega_2(t)$ ,  $\mu_1(t)$  и  $\mu_2(t)$ , а также соотношения для  $\omega_1(t)$  и  $\omega_2(t)$  на разрезах и  $\mu_1(t)$  и  $\mu_2(t)$  на жестких включениях:

$$\int_{L^{(1)}} \frac{\omega_1(\tau)}{\tau_1 - t_1} d\tau_1 + \int_{L^{(1)}} \omega_1(\tau)K_{11}(t, \tau) ds + \int_{L^{(1)}} \bar{\omega}_1(\tau)K_{12}(t, \tau) ds +$$

$$+ \int_{L^{(2)}} \mu_1(\tau)K_{13}(t, \tau) ds + \int_{L^{(2)}} \bar{\mu}_1(\tau)K_{14}(t, \tau) ds = f_1^{**}(t), \quad t \in L^{(1)}, \tag{5}$$

$$\int_{L^{(2)}} \frac{\mu_1(\tau)}{\tau_1 - t_1} d\tau_1 + \int_{L^{(2)}} \mu_1(\tau)K_{21}(t, \tau) ds + \int_{L^{(2)}} \bar{\mu}_1(\tau)K_{22}(t, \tau) ds +$$

$$+ \int_{L^{(1)}} \omega_1(\tau)K_{23}(t, \tau) ds + \int_{L^{(1)}} \bar{\omega}_1(\tau)K_{24}(t, \tau) ds = f_2^{**}(t), \quad t \in L^{(2)};$$

$$a(t)\omega_1(t) + b(t)\bar{\omega}_1(t) + \omega_2(t) = 0, \quad t \in L^{(1)},$$

$$A(t)\mu_1(t) + B(t)\bar{\mu}_1(t) + \mu_2(t) = 0, \quad t \in L^{(2)}, \tag{6}$$

где

$$f_1^{**}(t) = \frac{\pi i \bar{F}(t)}{\bar{b}(t)} - \pi i \left[ \frac{\bar{a}(t)}{\bar{b}(t)} \bar{\Phi}_{10} + \Phi_{10} + \frac{1}{\bar{b}(t)} \bar{\Phi}_{20} \right], \quad t \in L^{(1)};$$

$$f_2^{**}(t) = \frac{\pi i \bar{W}(t)}{\bar{B}(t)} - \pi i \left[ \frac{\bar{A}(t)}{\bar{B}(t)} \bar{\Phi}_{10} + \Phi_{10} + \frac{1}{\bar{B}(t)} \bar{\Phi}_{20} \right], \quad t \in L^{(2)}.$$

Здесь ядра  $K_{ij}(t, \tau)$  регулярны.

Систему дополним уравнениями

$$\int_{L_j} \omega_1(\tau) d\tau_1 = 0, \quad j = 1, \dots, k_1, \quad \int_{L_j} \mu_1(\tau) d\tau_1 = 0, \quad j = k_1 + 1, \dots, k, \tag{7}$$

представляющими собой условия однозначности смещений при обходе контура каждого из разрезов и равенства нулю главного вектора всех сил, действующих на каждое жесткое включение.

Неизвестные углы поворота жестких включений при нагружении пластины определяются условием равенства нулю главного момента сил, действующих на каждое включение. С учетом соотношений [8]

$$M \Big|_A^B = 2\text{Re} \left\{ \sum_{\nu=1}^2 F_\nu(z_\nu) - z_\nu \varphi_\nu(z_\nu) \right\} \Big|_A^B, \quad \Phi_\nu = \frac{d\varphi_\nu}{dz_\nu}, \quad \varphi_\nu = \frac{dF_\nu}{dz_\nu}$$

это условие приводится к виду

$$2\operatorname{Re}\left\{\int_{L_j}(\tau_1 - \tau_2 A_0 - \bar{\tau}_2 \bar{B}_0)\mu_1(\tau) d\tau_1\right\} = 0, \quad j = k_1 + 1, \dots, k. \quad (8)$$

Таким образом, для определения плотностей  $\omega_1(t)$ ,  $\omega_2(t)$ ,  $\mu_1(t)$  и  $\mu_2(t)$  получена система (5)–(8).

**Численное решение.** При введении параметризации кривых  $L_j = \{t = \tau^j(\xi), \xi \in [-1, 1]\}$  и обозначений

$$\begin{aligned} \omega_1(\tau^j(\xi)) &= \chi_j(\xi) = \chi_j^0(\xi)/\sqrt{1-\xi^2}, & j &= 1, \dots, k_1, \\ \mu_1(\tau^j(\xi)) &= \chi_j(\xi) = \chi_j^0(\xi)/\sqrt{1-\xi^2}, & j &= k_1 + 1, \dots, k \end{aligned}$$

(5)–(8) сводится к канонической системе интегральных уравнений

$$\sum_{p=1}^k \int_{-1}^1 \{K_1^{jp}(\xi, \eta)\chi_p(\eta) + K_2^{jp}(\xi, \eta)\overline{\chi_p(\eta)}\} d\eta = f_j(\xi), \quad j = 1, \dots, k,$$

$$\int_{-1}^1 \chi_j(\eta)(\tau_1^j(\eta))' d\eta = 0, \quad j = 1, \dots, k,$$

$$\operatorname{Re}\left\{\int_{-1}^1 K^J(\eta)\chi_j(\eta) d\eta\right\} = 0, \quad j = k_1 + 1, \dots, k,$$

где функции  $K_1^{jj}(\xi, \eta)$  имеют особенности типа Коши.

Система решается с помощью квадратурных формул по схеме, описанной в [3], после чего с заданной точностью могут быть определены значения потенциалов и напряжений в любой точке пластины [7] и вычислены значения коэффициентов интенсивности напряжений  $K_1$ ,  $K_2$  в вершинах трещин и жестких включений [3]:

$$(\sigma_x, \tau_{xy}, \sigma_y) = 2\operatorname{Re}\left\{\sum_{\nu=1}^2(\mu_\nu^2, -\mu_\nu, 1)\Phi_\nu(z_\nu)\right\}, \quad K_1 = \lim_{\substack{r \rightarrow 0 \\ \theta=0}} \sigma_n \sqrt{2\pi r}, \quad K_2 = \lim_{\substack{r \rightarrow 0 \\ \theta=0}} \tau_n \sqrt{2\pi r}.$$

Здесь  $r$  и  $\theta$  — полярные координаты точки в системе с полюсом в вершине и полярной осью, направленной по касательной к кривой;  $\sigma_n = 0,5(\sigma_x + \sigma_y) + 0,5(\sigma_x - \sigma_y)\cos 2\varphi + \tau_{xy}\sin 2\varphi$ ;  $\tau_n = -0,5(\sigma_x - \sigma_y)\sin 2\varphi + \tau_{xy}\cos 2\varphi$ ;  $\varphi$  — угол между нормалью к кривой в ее вершине и осью  $x$ .

**Примеры вычислений.** Ниже приводятся результаты вычисления коэффициентов интенсивности напряжений в вершинах разрезов и тонких абсолютно жестких включений в изотропной и анизотропной (ортотропной) пластинах, подверженных одноосному растяжению. Рассматриваются следующие материалы: 1 — изотропный материал ( $E = 720$  ГПа,  $\nu = 0,25$ ); 2 — анизотропный композит ( $E_1 = 780$  ГПа,  $E_1/E_2 = 3$ ,  $G = 120$  ГПа,  $\nu = 0,25$ ); 3 — графитоэпоксидный композит ( $E_1 = 276,1$  ГПа,  $E_1/E_2 = 25$ ,  $G = 5,52$  ГПа,  $\nu = 0,25$ ); 4 — стеклоэпоксидный композит ( $E_1 = 53,84$  ГПа,  $E_1/E_2 = 3$ ,  $G = 8,63$  ГПа,  $\nu = 0,25$ ). Здесь  $E$ ,  $E_1$  и  $E_2$  — модули упругости;  $G$  — модуль сдвига;  $\nu$  — коэффициент Пуассона. Для изотропного материала при вычислениях введена “слабая анизотропия” с отношением  $E_1/E_2 = 0,9996$ .

$\alpha$	$K_1(a)/(p\sqrt{\pi R})$		$K_2(a)/(p\sqrt{\pi R})$	
	Настоящая работа	Данные [1]	Настоящая работа	Данные [1]
0	-0,157 10	-0,157 10	0,035 73	0,035 73
$\pi/12$	-0,122 00	-0,122 00	0,093 23	0,093 23
$\pi/6$	-0,074 20	-0,074 24	0,105 70	0,105 70
$\pi/4$	-0,026 64	-0,026 66	0,069 76	0,069 77
$\pi/3$	0,008 00	0,008 00	-0,004 91	-0,004 91
$5\pi/12$	0,020 48	0,020 46	-0,098 32	-0,098 34
$\pi/2$	0,007 38	0,007 37	-0,185 50	-0,185 50

На рис. 2–4 и в таблице представлены зависимости коэффициентов интенсивности напряжений  $K_1$ ,  $K_2$  в вершинах жесткого включения, имеющего форму полуокружности, от угла  $\alpha$ , характеризующего расположение этого включения в одноосно растягиваемой плоскости.

На рис. 2 приведены результаты расчетов для анизотропного материала 2 для двух случаев: 1) главное направление анизотропии совпадает с направлением оси  $x$  (сплошные кривые); 2) главное направление анизотропии совпадает с направлением оси  $y$  (штриховые кривые). На рис. 3 представлены результаты вычислений для материалов 1 и 3 (штриховые и сплошные кривые соответственно). Из рис. 2 и 3 следует, что коэффициенты интенсивности напряжений во всем диапазоне значений  $\alpha$  существенно зависят от параметров анизотропии и угла между осью анизотропии и направлением растягивающей нагрузки на бесконечности.

На рис. 4 для материалов 1 и 3 приведены зависимости от  $\alpha$  разности значений коэффициентов интенсивности напряжений в рассматриваемой задаче и в задаче, в которой не допускается поворот включения. Главное направление анизотропии совпадает с направлением оси  $x$ . Штриховыми кривыми изображены зависимости  $\Delta K_1(a)/(p\sqrt{\pi R})$  (нижняя кривая) и совпадающие зависимости  $\Delta K_2(a)/(p\sqrt{\pi R})$ ,  $\Delta K_1(b)/(p\sqrt{\pi R})$ ,  $\Delta K_2(b)/(p\sqrt{\pi R})$  (верхняя кривая) для изотропного материала 1, сплошными кривыми 1–4 представлены зависимости  $\Delta K_1(a)/(p\sqrt{\pi R})$ ,  $\Delta K_2(a)/(p\sqrt{\pi R})$ ,  $\Delta K_1(b)/(p\sqrt{\pi R})$ ,  $\Delta K_2(b)/(p\sqrt{\pi R})$  соответственно для анизотропного материала 3. Симметрия, имеющая место в случае изотропного материала, здесь нарушена.

В таблице для изотропного материала 1 (см. рис. 3) приближенные значения коэффициентов интенсивности напряжений сравниваются с полученными по приведенной в [1] точной формуле для нескольких значений  $\alpha$ . Из таблицы следует, что предлагаемый в данной работе подход, в котором используется понятие “слабой анизотропии”, применим к исследованию напряженно-деформированного состояния изотропных пластин.

На рис. 5 для анизотропного материала 4 представлены зависимости коэффициентов интенсивности напряжений в вершинах прямолинейного разреза длиной  $2l$  (сплошные кривые) и жесткого включения, имеющего форму полуокружности с центром на прямой, которой принадлежит разрез, и радиусом  $R = l$  (штриховые кривые), от расстояния  $d$ . Плоскость подвергается одноосному растяжению. Видно, что разрез и жесткое включение практически не оказывают влияния друг на друга при  $d/l > 3$ , т. е. при удалении центра окружности от ближайшей к нему вершины разреза на расстояние, большее длины разреза.

На рис. 6 для материала 4 представлены зависимости коэффициентов интенсивности напряжений  $K_1$ ,  $K_2$  в вершинах прямолинейного разреза длиной  $2l$  (сплошные кривые) и жесткого включения, имеющего форму дуги окружности (штрихпунктирные кривые),

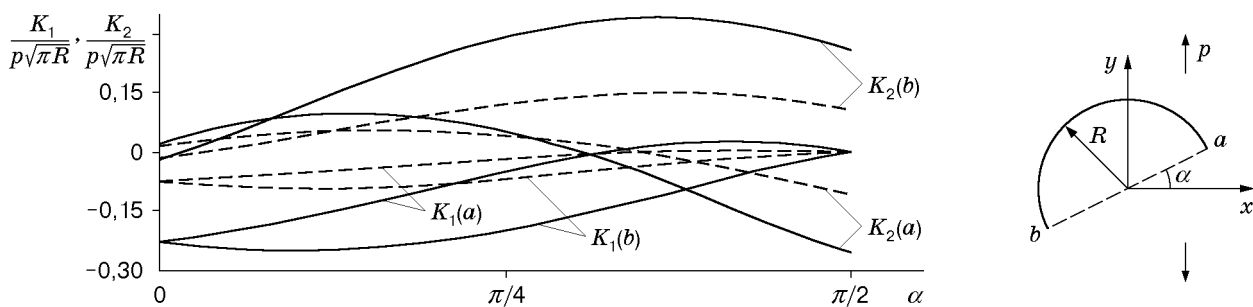


Рис. 2

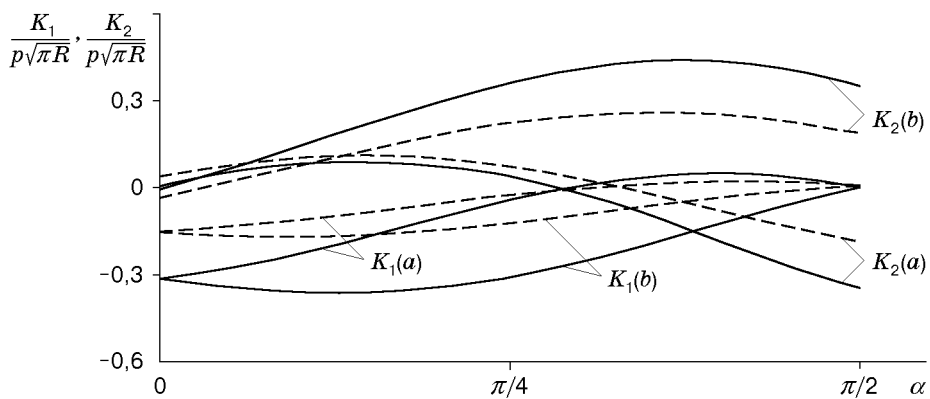


Рис. 3

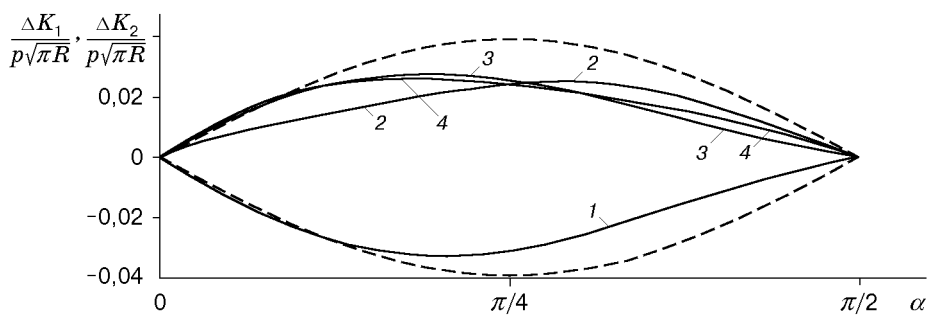


Рис. 4

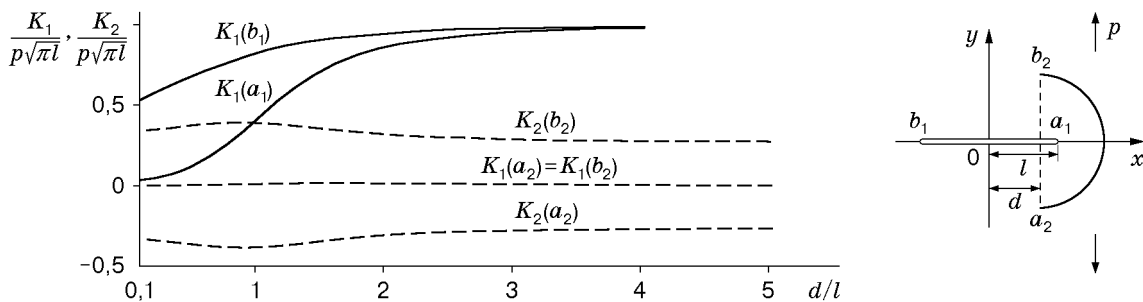


Рис. 5

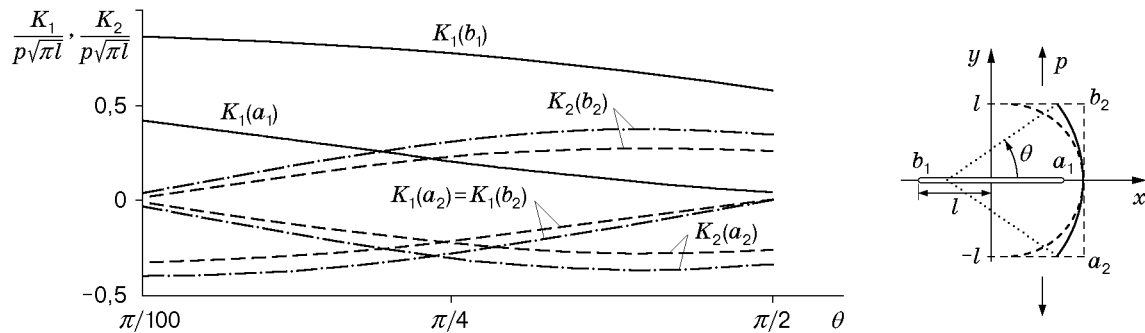


Рис. 6

от величины центрального угла  $2\theta$  (при изменении угла  $\theta$  от 0 до  $\pi/2$  форма включения меняется от прямолинейной до дуги полуокружности). Штриховыми линиями показаны зависимости коэффициентов  $K_1$ ,  $K_2$  от угла  $2\theta$  для одиночного жесткого включения.

Отметим, что в [1] для изотропного материала приведены приближенные формулы вычисления коэффициентов интенсивности напряжений в вершинах пары взаимно перпендикулярных прямолинейных объектов трещина — включение в виде разложения по степеням малого параметра  $\lambda = 2l/d$ . Однако численные исследования показали, что при  $\lambda \leq 1/2$  объекты уже практически не оказывают влияния друг на друга в силу удаленности (различие со значениями коэффициентов  $K_1$ ,  $K_2$  для одиночных объектов составляет менее 2%).

Таким образом, предлагаемый в работе подход позволяет получать количественные и качественные оценки напряженно-деформированного состояния и предельного состояния пластин с трещинами и тонкими жесткими включениями.

#### ЛИТЕРАТУРА

1. **Бережницкий Л. Т., Панасюк В. В., Стацук Н. Г.** Взаимодействие жестких линейных включений и трещин в деформируемом теле. Киев: Наук. думка, 1983.
2. **Сильверстов В. В., Шумилов А. В.** Задача соединения упругих пластин в пакет вдоль кривых // Изв. РАН. Механика твердого тела. 1997. № 1. С. 165–170.
3. **Максименко В. Н.** Расчет анизотропных пластин, ослабленных трещинами и подкрепленных ребрами жесткости при помощи сингулярных интегральных уравнений // Численные методы решения задач теории упругости и пластичности: Материалы VII Всесоюз. конф. Новосибирск: Ин-т теорет. и прикл. механики СО АН СССР, 1982. С. 290–298.
4. **Максименко В. Н.** Задача об анизотропной пластине, ослабленной криволинейными трещинами и усиленной ребрами жесткости // ПМТФ. 1982. № 2. С. 163–169.
5. **Максименко В. Н., Цендровский А. В.** Определение коэффициентов интенсивности напряжений для трещин сложной формы в анизотропных пластинах // ПМТФ. 1986. № 6. С. 124–128.
6. **Максименко В. Н., Цендровский А. В.** Предельно-равновесное состояние анизотропной пластины с вырезами и трещинами произвольной формы // Учен. зап. ЦАГИ. 1989. Т. 20, № 2. С. 53–60.
7. **Лехницкий С. Г.** Анизотропные пластинки. М.: Гостехтеоретиздат, 1957.
8. **Савин Г. Н.** Распределение напряжений около отверстий. Киев: Наук. думка, 1968.